

G_{pl} запишется так:

$$G_{pl}(x, \tau) = \frac{|x_1|}{\tilde{\alpha}\sqrt{2}} \left\{ g \left(|x_1| \sqrt{\frac{2b}{\pi}} \right) \cos \left(bx_1^2 + \frac{\pi}{4} \right) + \left[\frac{1}{2\sqrt{2}} \sqrt{\frac{\pi}{b}} - f \left(|x_1| \sqrt{\frac{2b}{\pi}} \right) \right] \sin \left(bx_1^2 + \frac{\pi}{4} \right) \right\}, \quad b = \frac{1}{4\tilde{\alpha}\tau}.$$

При расчетах удобнее использовать аппроксимации рациональными функциями, гарантирующие абсолютную ошибку $|\varepsilon(y)| \leq 2 \cdot 10^{-3}$ на интервале $0 \leq y < \infty$:

$$g(y) \approx (2 + 4,142y + 3,492y^2 + 6,670y^3)^{-1}, \quad f(y) \approx (1 + 0,926y)(2 + 1,792y + 3,104y^2)^{-1}.$$

Для определения напряжений σ_{330} и нормальных перемещений v построен и реализован численно-аналитический алгоритм, основанный на методе квадратур. Интегралы от сингулярных составляющих вычисляются с помощью метода весовых коэффициентов с использованием канонической регуляризации, от регулярных – методом Гаусса [3–5].

Работа выполнена при финансовой поддержке РФФИ (проект 20-08-01099 А).

Список литературы

- 1 **Mikhailova, E. Yu.** Nonstationary Axisymmetric Problem of the Impact of a Spherical Shell on an Elastic Half-Space (Initial Stage of Interaction) / E. Yu. Mikhailova, G. V. Fedotenkov // *Mechanics of Solids*. – 2011. – Vol. 46, no. 2. – P. 239–247.
- 2 **Михайлова, Е. Ю.** Нестационарный контакт сферической оболочки и упругого полупространства / Е. Ю. Михайлова, Г. В. Федотенков, Д. В. Тарлаковский // *Труды МАИ : электронный журнал*. – 2014. – Вып. 78 [Электронный ресурс]. – Режим доступа : <http://www.mai.ru/science/trudy/published.php?ID=53499>. – Дата доступа : 23.09.2021.
- 3 **Горшков, А. Г.** Динамические контактные задачи с подвижными границами / А. Г. Горшков. – М. : Наука. Физматлит, 1995. – 352 с.
- 4 **Михайлова, Е.** Контактные напряжения в нестационарной задаче для полупространства с покрытием / Е. Ю. Михайлова, Э. И. Старовойтов, Г. В. Федотенков // *Динамические и технологические проблемы механики конструкций и сплошных сред : материалы XXVI междунар. симпозиума им. А. Г. Горшкова*. Т. 2. – М., 2020. – С. 97–99.
- 5 **Mikhailova, E.Yu.** Impact of transient pressure on a half-space with membrane type coating // *Proceedings of the Third International Conference on Theoretical, Applied and Experimental Mechanics, ICTAEM 2020. Structural Integrity*. – Springer, Cham. – 2020. – Vol. 16. – P. 312–315.

УДК 517.958

ИССЛЕДОВАНИЕ ВОЛНОВЫХ ЯВЛЕНИЙ В ЦИЛИНДРИЧЕСКОЙ ОБОЛОЧКЕ С ФИЗИЧЕСКОЙ НЕЛИНЕЙНОСТЬЮ, ЗАПОЛНЕННОЙ ВЯЗКОЙ ЖИДКОСТЬЮ И ОКРУЖЕННОЙ УПРУГОЙ СРЕДОЙ

Л. И. МОГИЛЕВИЧ, Е. В. ЕВДОКИМОВА, Е. В. ПОПОВА

Саратовский государственный технический университет им. Ю. А. Гагарина, Российская Федерация

Рассмотрена задача гидроупругости цилиндрической оболочки с квадратичной физической нелинейностью неограниченной длины, окруженной упругой средой. Оболочка заполнена вязкой несжимаемой жидкостью. Считается, что в оболочке была возбуждена уединенная волна деформации, например, воздействием пьезоэлектрического элемента или ударным воздействием на ее торец. Рассматриваем упругую среду с учетом нелинейной реакции среды в продольном направлении. В этом случае реакция такой среды в нормальном направлении характеризуется безразмерным коэффициентом жесткости k_1 , как основание Винклера. Однако в продольном направлении среда обладает жесткостью с мягкой кубической нелинейностью, характеризуемой безразмерными коэффициентами жесткости k_2, k_3 . Оболочка характеризуется следующими параметрами: R_1 – внутренний радиус оболочки; R – радиус ее срединной поверхности; h_0 – толщина оболочки. При этом выполняется условие $h_0/R \ll 1$.

Сформулирована осесимметричная задача гидроупругости рассматриваемой оболочки, включающая в себя: уравнения динамики рассматриваемой оболочки, а также уравнения Навье – Стокса и уравнение неразрывности для вязкой несжимаемой жидкости, которые дополнены

соответствующими граничными условиями. В качестве граничных условий выступают условия совпадения скоростей разнородных сред на границах их контакта, а также условие ограниченности гидродинамических параметров на оси симметрии. В силу бесконечной протяженности оболочки характерный поперечный размер сечения жидкости оказывается мал, и динамика жидкости в оболочке рассматривалась в рамках гидродинамической теории смазки, но с учетом инерции ее движения. Для исследования поставленной задачи гидроупругости применялся метод двухмасштабных разложений, позволивший свести исходную задачу к одному модельному уравнению, в котором остались члены, характеризующие нелинейность и дисперсию волнового процесса в стенках канала, а также влияние окружающей упругой среды и вязкой несжимаемой жидкости. Данное уравнение в введенных в рассмотрение безразмерных переменных имеет вид

$$\frac{\partial^2 u_{10}}{\partial \xi \partial \tau} + \frac{\mu_0^2 \sqrt{1-\mu_0^2}}{2} \frac{\partial^4 u_{10}}{\partial \xi^4} + \frac{\sqrt{1-\mu_0^2}}{2} \left[\frac{4m}{\sqrt{3}E} (\mu_1 + \mu_2 \mu_0 + \mu_1 \mu_0^2)^{1/2} \right] \frac{\partial u_{10}}{\partial \xi} \frac{\partial^2 u_{10}}{\partial \xi^2} + k_1 \frac{\mu_0^2}{2\sqrt{1-\mu_0^2}} \frac{\partial^2 u_{10}}{\partial \xi^2} - \frac{2}{\sqrt{1-\mu_0^2}} \left[k_3 u_{10} - k_2 u_{10}^3 \right] = - \frac{1}{2} \frac{l}{\varepsilon \rho_0 h_0} \left\{ \frac{\nu}{R_1 c_0} \rho_4 [1-2\mu_0]^2 \frac{\partial u_{10}}{\partial \xi} - \frac{R_1}{l} \rho \frac{1}{6} \sqrt{1-\mu_0^2} \left[(1-2\mu_0)^2 + 12\mu_0^2 \right] \frac{\partial^2 u_{10}}{\partial \xi^2} \right\}. \quad (1)$$

Здесь u_{10} – безразмерное продольное перемещение оболочки, u_m – характерное значение перемещения; $u_{30} = \mu_0 \partial u_{10} / \partial \xi$ – безразмерный прогиб, согласно линейному приближению, ξ – безразмерная бегущая координата; τ – безразмерное медленное время; l – длина волны; ρ_0 – плотность материала оболочки, E – модуль Юнга; m – постоянная материала физически нелинейной оболочки; μ_0 – коэффициент Пуассона, μ_1 и μ_2 зависят от μ_0 ; ν – кинематический коэффициент вязкости жидкости, ρ – плотность жидкости, c_0 – скорость продольных волн в оболочке.

Полагая, $\partial u_{10} / \partial \xi = c_3 \varphi$, $\eta = c_1 \xi$, $t = c_2 \tau$, из (1) получено уравнение

$$\frac{\partial \varphi}{\partial t} + 6\varphi \frac{\partial \varphi}{\partial \eta} + \frac{\partial^3 \varphi}{\partial \eta^3} + (\sigma_2 - \sigma_4) \frac{\partial \varphi}{\partial \eta} + \sigma_1 \varphi - \sigma_3 \int \varphi d\eta + \sigma_5 \left(\int \varphi d\eta \right)^3 = 0, \quad (2)$$

значения c_1 , c_2 , c_3 и введенные обозначения σ_1 , σ_2 , σ_3 , σ_4 , σ_5 , определяются через параметры задачи, входящих в коэффициенты разрешающего уравнения. Коэффициент σ_1 , описывающий вязкостное трение жидкости, принимает значение 0 при $\mu_0 = 1/2$ и при отсутствии жидкости; σ_2 , σ_3 , σ_5 описывают влияние жесткости упругой окружающей среды в нормальном и касательном направлениях; σ_4 описывает влияние инерции движения жидкости.

При μ_0 , отличном от $1/2$ ($\sigma_1 \neq 0$), проведено численное исследование уравнения (2) при начальном условии $t = 0$ в виде солитона – найденного точного решения (для случая $\mu_0 = 1/2$, $\sigma_1 = 0$)

$$\varphi(\eta, 0) = 2k^2 \cosh^{-2}\{k\eta\}, \quad (3)$$

с использованием разработанной разностной схемы.

На рисунке 1 приведен пример расчета в размерных единицах. Материал оболочки – органическое стекло: $\rho_0 = 1,18 \cdot 10^3 \text{ кг} \cdot \text{м}^{-3}$; $E = 3 \cdot 10^9 \text{ Па}$; $m = 1,44 \cdot 10^9 \text{ Па}$; $\mu_0 = 0,35$. Жидкость внутри оболочки: $\rho = 1,8 \cdot 10^3 \text{ кг} \cdot \text{м}^{-3}$; $\nu = 2,5 \cdot 10^{-4} \text{ м}^2 \cdot \text{с}^{-1}$. Радиус срединной поверхности оболочки: $R = 5 \cdot 10^{-3} \text{ м}$. Толщина оболочки $h_0 = 5 \cdot 10^{-5} \text{ м}$, малый параметр задачи $\varepsilon = h_0 / R = 10^{-2}$. Максимальная величина размерного прогиба $W = h_0 \mu_0 \partial u_{10} / \partial \xi = 0,33 \cdot 10^{-5} \text{ м}$. Длина волны $l = R / \sqrt{\varepsilon} = 10 \cdot R = 5 \cdot 10^{-2} \text{ м}$. Коэффициент жесткости окружающей среды в нормальном направлении $K_1 = 4,7 \cdot 10^7 \text{ Па} \cdot \text{м}^{-1}$, коэффициенты жесткости окружающей среды в касательном направлении при первой степени – $K_3 = 7,4 \cdot 10^6 \text{ Па} \cdot \text{м}^{-1}$, при третьей степени – $K_2 = 7,4 \cdot 10^{15} \text{ Па} \cdot \text{м}^{-3}$.

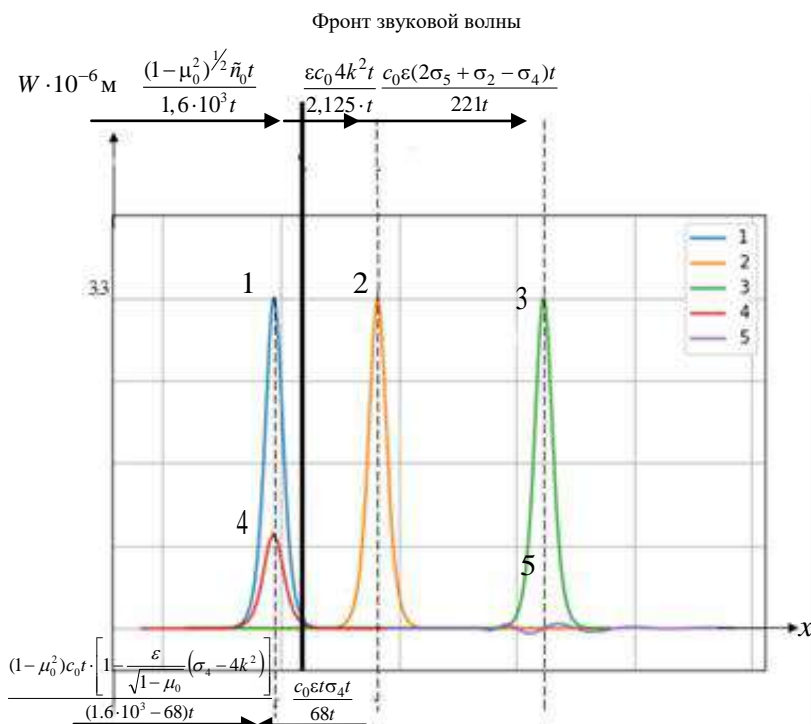


Рисунок 1 – График численного решения в размерных переменных:

1 – учет инерции движения жидкости ($\sigma_4 = 1, \sigma_1 = \sigma_2 = \sigma_3 = \sigma_5 = 0$); 2 – без учета окружающей среды, вязкости жидкости и инерции движения ($\sigma_1 = \sigma_2 = \sigma_3 = \sigma_4 = \sigma_5 = 0$); 3 – учет влияния окружающей среды и инерции движения жидкости ($\sigma_1 = 0, \sigma_2 = 2, \sigma_3 = 1, \sigma_4 = 1, \sigma_5 = 8$); 4 – учет влияния инерции движения жидкости и вязкости жидкости ($k = 0,18, \sigma_4 = 4, \sigma_1 = 1, \sigma_2 = \sigma_3 = \sigma_5 = 0$); 5 – совместный учет влияния окружающей среды, инерции движения жидкости и вязкости жидкости ($\sigma_1 = 1, \sigma_2 - \sigma_4 = -4, \sigma_3 = 1, \sigma_5 = 8$)

Представленные результаты расчетов позволяют дать следующую трактовку. Без учета окружающей среды, вязкости жидкости и инерции движения скорость солитона сверхзвуковая (кривая 2). Учет инерции движения жидкости уменьшает скорость солитона, которая становится дозвуковой (кривая 1), а дополнительный учет упругой окружающей среды приводит к возрастанию скорости солитона и она снова становится сверхзвуковой (кривая 3), вязкость жидкости, без учета окружающей среды, ведет к падению амплитуды солитона (кривая 4), совместный учет всех факторов приводит к разрушению солитона (кривая 5).

Выполнено при поддержке гранта РФФИ № 19-01-00014а.

УДК 539.3

МЕТОДИКА КОНТАКТНОГО ВЗАИМОДЕЙСТВИЯ ЗУБЬЕВ ЗУБЧАТЫХ КОЛЕС ИЗ РАЗЛИЧНЫХ МАТЕРИАЛОВ

В. В. МОЖАРОВСКИЙ, Д. С. КУЗЬМЕНКОВ, С. В. КИРГИНЦЕВА

Гомельский государственный университет им. Ф. Скорины, Республика Беларусь

Применение в мировой практике высокоскоростного и надежного промышленного транспорта (автомобилей, электропогрузчиков, подвесных канатных дорог, эскалаторов метро и др.), а также усовершенствование новых способов передачи движений требует создания новых армирующих материалов и инженерных методик расчета. Например, при исследовании контактного взаимодействия упругих тел из композитов возникает необходимость создавать новые методики расчета прочности и износа зубьев зубчатых колес [1, 2]. В связи с этим разрабатываются новые математические модели и компьютерные программы расчета напряжений и деформаций при различных